УЛК 539.21

ОБРАТИМОСТЬ $\beta \leftrightarrow \alpha$ -ПРЕВРАЩЕНИЙ КАК ОПРЕДЕЛЯЮЩИЙ ФАКТОР НЕЗАВИСИМОСТИ ТЕКСТУРЫ МЕМБРАННОЙ ФОЛЬГИ СИСТЕМЫ Pd—Cu OT СПОСОБА ПОЛУЧЕНИЯ

© 2020 г. В. М. Иевлев^{1, 2, *}, К. А. Солнцев^{1, 2}, А. И. Донцов^{2, 3}, А. С. Прижимов^{2, 3}, С. В. Горбунов², Н. Р. Рошан², С. В. Канныкин³

¹Московский государственный университет им М.В. Ломоносова, Ленинские горы, 1, Москва, 119991 Россия ²Институт металлургии и материаловедения им. А.А. Байкова Российской академии наук, Ленинский пр., 49, Москва, 119991 Россия

³Воронежский государственный университет, Университетская пл., 1, Воронеж, 394018 Россия *e-mail: rnileme@mail.ru

Поступила в редакцию 28.03.2020 г. После доработки 19.05.2020 г. Принята к публикации 25.05.2020 г.

Исследованы фазовый состав и текстура твердого раствора Pd—Cu состава, близкого к эквиатомному, на разных стадиях получения мембранной фольги способом прокатки до 300, 175, 100 и 20 мкм и фольги толщиной 7 мкм, полученной в процессе магнетронного распыления мишени того же состава. Установлены ориентационные соотношения между β - и α -фазами в исходных двухфазных структурах. Показано, что текстура упорядоченного твердого раствора (β -фаза) после цикла нагревание до 600° С—охлаждение в обоих вариантах идентична. Идентичность текстуры обусловлена механизмом превращения.

Ключевые слова: твердый раствор Pd—55 ат. % Сu, тонкая фольга, холодная прокатка, рентгеновская дифрактометрия, ПЭМ, фазовый состав, текстура

DOI: 10.31857/S0002337X20110032

ВВЕДЕНИЕ

Целесообразность применения тонкой фольги системы Pd—Cu состава, близкого к эквиатомному, для изготовления мембран глубокой очистки водорода обоснована следующим: обратимость процессов упорядочения по типу B_2 (β -фаза, кристаллическая решетка типа CsCl [1])—разупорядочения (α -фаза), свойственная твердому раствору с небольшим превышением атомного состава по Cu [2]; кратно меньшая величина энергии активации диффузии водорода в β -фазе в сравнении с α -фазой, чистым палладием [3]; отсутствие гидридизации, свойственной чистому палладию [4] и легированному (например, рутением [5], иттрием [6], свинцом [7]). Имеет значение и экономический аспект с учетом доли Cu в составе фольги.

Традиционный способ получения мембранной фольги — прокатка. В [8] показана возможность создания свободной фольги толщиной менее 10 мкм в процессе магнетронного распыления мишени соответствующего состава. Этот способ приемлем и для нанесения селективного слоя композиционной мембраны [9, 10].

То, что механизмы формирования структуры фольги в процессах прокатки и роста при магнетронном распылении мишени того же состава различаются, не требует доказательства. Поэтому следовало бы ожидать проявления особенностей текстуры и субструктуры тонкой фольги, формируемой в этих процессах.

Восстановление функционального преимущества упорядоченной структуры в циклах нагревание—охлаждение есть необходимое условие, учитывая необходимость этого цикла после изготовления фольги [11] и при производстве мембранного элемента и его эксплуатации.

В этой связи целесообразно сопоставление текстуры и субструктуры фольги после изготовления разными способами и после цикла нагревания до температуры, превышающей температуру сохранения упорядоченной структуры.

Цель настоящей работы — сопоставление и обоснование текстуры мембранной фольги, полученной принципиально разными способами.

ЭКСПЕРИМЕНТАЛЬНАЯ ЧАСТЬ

Последовательность изготовления образцов фольги в процессе прокатки включала следующие стадии. Исходную заготовку в виде слитка размером $10 \times 50 \times 100$ отжигали для гомогенизации твердого раствора при температуре 1000°C в течение 5 ч в вакууме 6×10^{-3} Па. Первичную деформацию слитка проводили на вакуумном прокатном стане при температуре 1050°C с обжатием 18-20% за проход при остаточном давлении в камере 6×10^{-3} Па. При прокатке до толщины 2 мм нагревание проводили после каждого прохода. По мере уменьшения сечения заготовки температуру нагревания снижали, на последнем проходе – до 850°С. Перепад температур в рабочей зоне печи не превышал 5°C. Последующую прокатку полосы от толщины 2 мм до 100 мкм проводили на четырехвалковом стане при комнатной температуре. При достижении суммарной степени обжатия 50-55% полосу отжигали при 950°C в течение 45 мин. Холодную прокатку до 20 мкм проводили на двадцативалковом стане (с использованием валков диаметром 8 мм). Перед прокаткой полосу толшиной 100 мкм отжигали в вакууме при 850-900°C в течение 30 мин. Прокатку до толщины 20 мкм проводили с суммарной степенью обжатия 40-42% за 6 проходов с промежуточными отжигами в вакуумной печи при 900°C в течение 20-30 мин.

Фольга толщиной 7 мкм была получена на поверхности подложки (оксидированная пластина кремния) в процессе магнетронного распыления мишени состава Pd-55 ат. % Си. Исходная температура подложки $\sim 20^{\circ}$ С в процессе наращивания фольги повышалась до 100° С. Режим работы магнетрона (постоянный ток 700 мА, ускоряющее напряжение 500 В, среда Ar (10^{-1} Па), исходный вакуум 10^{-3} Па) обеспечивал скорость роста 2.0 нм/с. Вследствие слабого межфазового взаимодействия на границе фольга легко отделяется от подложки. Толщину фольги оценивали по изображению поперечных срезов в растровом электронном микроскопе ($P\mathfrak{M}$).

Фазовый состав образцов исследовали методом рентгеновской дифрактометрии (ARL X'TRA с высокотемпературной приставкой Anton Paar HTK-1200 N) 1 . Температурную зависимость фазового состава и текстуры выявили методом РД *in situ* при нагревании и охлаждении образца в вакууме.

Субструктуру исходной фольги и после цикла нагревания (850°C)—охлаждения исследовали ме-

тодами РЭМ и просвечивающей электронной микроскопии (ПЭМ) (ТіtanTM 80-300). Образцы *cross-section* для исследования методом ПЭМ вырезали из объема фольги на двухлучевом РЭМ (Quanta 200 3D) фокусированным пучком ионов галлия и двухсторонним распылением в скользящих пучках ионов доводили их толщину образца до 50 нм.

Элементный состав оценивали методом ожеэлектронной спектроскопии (анализатор DESA-100) после ионного распыления приповерхностного слоя на глубину 0.3 мкм, а также методом рентгеновской энергодисперсионной спектроскопии.

РЕЗУЛЬТАТЫ И ОБСУЖДЕНИЕ

Фазовый состав и текстуру образцов на последовательных стадиях прокатки характеризуют дифрактограммы, приведенные на рис. 1.

Наиболее общие закономерности для исходных (после деформации) образцов следующие: двухфазная структура с большей долей β -фазы, что подтверждает положение о том, что сильная деформация способствует $\alpha \to \beta$ -превращению [12]; высокая дисперсность зерен β -фазы как следствие ее вторичности и возможности дискретного зарождения даже в пределах одного зерна α -фазы; бо́льшая доля текстуры $\langle 111 \rangle \alpha$ и в разных долях сопутствующие $\langle 110 \rangle \beta$, $\langle 112 \rangle \beta$, $\langle 012 \rangle \beta$. Сохранение большей доли α -фазы может быть следствием предварительного отжига при 850°C и температурного режима на этой стадии процесса прокатки.

Фрагменты *in situ*-превращений в цикле нагревание—охлаждение образцов фольги толщиной 100 и 20 мкм представлены соответственно дифрактограммами 3" (575°C) и 4" (600°C), т.е. на стадии полного разупорядочения структуры. Термически активируемые процессы разупорядочения и рекристализации снижают дисперсность структуры при произвольной взаимной ориентации зерен. При охлаждении от 600°C начинается процесс упорядочения, завершающийся при температуре 550°C, что соответствует диаграмме состояния для состава образцов Pd—55 ат. % Cu.

Уже после одного цикла превращений для образцов всех толщин проявляются общие закономерности (дифрактограммы I', 2', 3', 4' на рис. 1): основная текстура $\langle 110 \rangle$, сопутствующие $\langle 100 \rangle$ и $\langle 112 \rangle$ — субмикрокристалическая зеренная субструктура. Исследование *in situ*-структурных превращений в повторном цикле нагревания до 600° С—охлаждения до комнатной температуры образца толщиной 20 мкм показало полное соот-

¹ Скорость нагревания 100°С/мин; время выдержки при каждой температуре 30 мин; скорость охлаждения не устанавливали.

ветствие наблюдаемым в первом цикле с воспро-изведением субструктуры и текстуры.

Дифрактограммы на рис. 2 характеризуют исходный фазовый состав, субструктуру и текстуру фольги толщиной 7 мкм, полученную в процессе магнетронного распыления.

Для исходной фольги характерна однофазная структура (β -фаза) с текстурой ($\langle 110 \rangle$) (основная) и с относительно большой долей ($\langle 112 \rangle$) и меньшей долей ($\langle 110 \rangle$); фаза α проявляется предельно малой интенсивностью отражения 111. На рис. За приведено РЭМ-изображение поперечного среза исходного образца. Для него характерна свойственная тонким пленкам градиентная субмикрокристаллическая зеренная субструктура, соответствующая модели [13] селективного роста зерен преимущественной ориентации (например, ($\langle 111 \rangle$) для металлов с ГЦК- и ($\langle 110 \rangle$) с ОЦК-структурой).

При нагревании до 500°С происходит полное разупорядочение структуры, что соответствует составу образца Pd—55 ат. % Си. При 600°С структура фольги субмикрокристаллическая с произвольной взаимной ориентацией зерен. При охлаждении полное упорядочение происходит при 500°С. В итоге совокупности процессов разупорядочения и рекристализации при нагревании и последующего упорядочения при охлаждении происходит снижение дисперсности зеренной субструктуры (рис. 36), менее выражена ее градиентность по толщине. Сохраняется текстура (110) как основная, увеличивается в 2 раза доля текстуры (100) и, соответственно, уменьшается доля текстуры (112).

Из сопоставления дифрактограмм 3, 3' на рис. 1 и 1, 3 на рис. 2 следует, что при принципиально различающихся процессах формирования фольги твердых растворов системы Pd—Cu атомного состава со значительным превышением 2 по Cu текстурные характеристики, в основном, одинаковые, а небольшие различия устраняются в одном цикле нагревания до 600° С, в котором реализуется последовательность превращений $\beta \to \alpha \to \beta$.

Если рассматривать $\alpha \to \beta$ -превращение как аналог полиморфного превращения $\gamma \to \alpha$ в железе, то для β -фазы, образующейся в процессе $\alpha \to \beta$ -превращения при охлаждении поликристаллической α -фазы в пределах зерна, и при статистике возможных ориентаций зерен можно ожидать проявления текстур в соответствии с ориентационными соотношениями в модели Бейна: $\langle 00\overline{1}\rangle\beta\|\langle 111\rangle\alpha$, $\langle 110\rangle\beta\|\langle 100\rangle\alpha$, $\langle 100\rangle\beta\|\langle 110\rangle\alpha$, $\langle 112\rangle\beta\|\langle 0\overline{1}1\rangle\beta$ [14, 15].

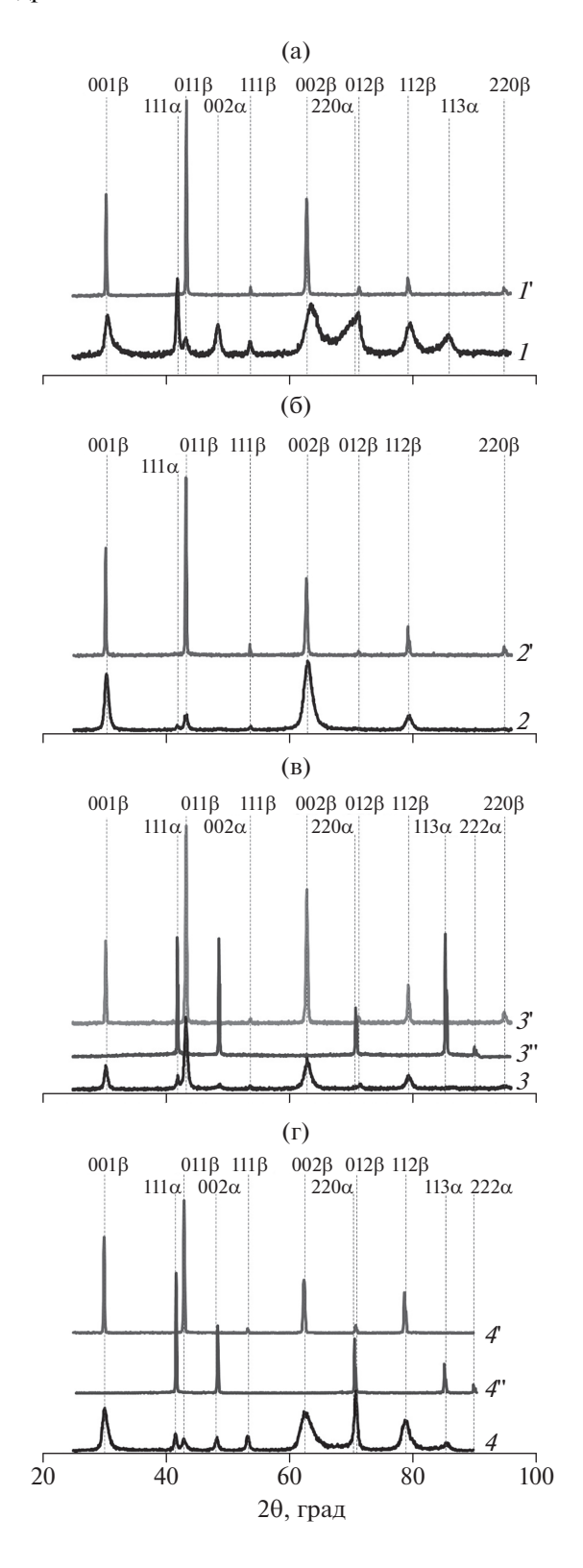


Рис. 1. Рентгеновские дифрактограммы фольги на стадиях прокатки до 300 (а), 175 (б), 100 (в), 20 мкм (г): I-4 — исходные образцы, I'-4' — после цикла нагревания до 850°C —охлаждения; 3'' — при 575°C (100 мкм); 4'' — при 600°C (20 мкм).

 $^{^2}$ Для обеспечения обратимости превращения $\beta \leftrightarrow \alpha$ [2].

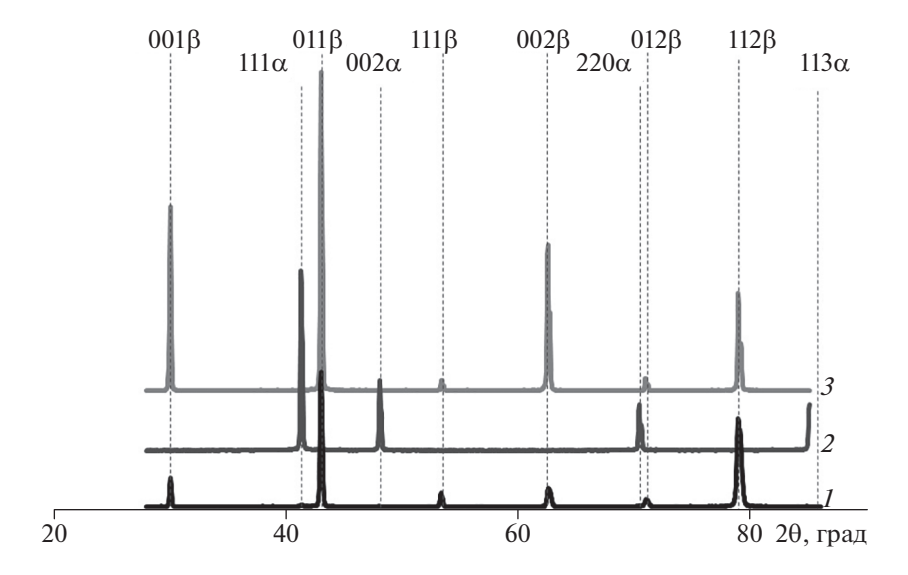
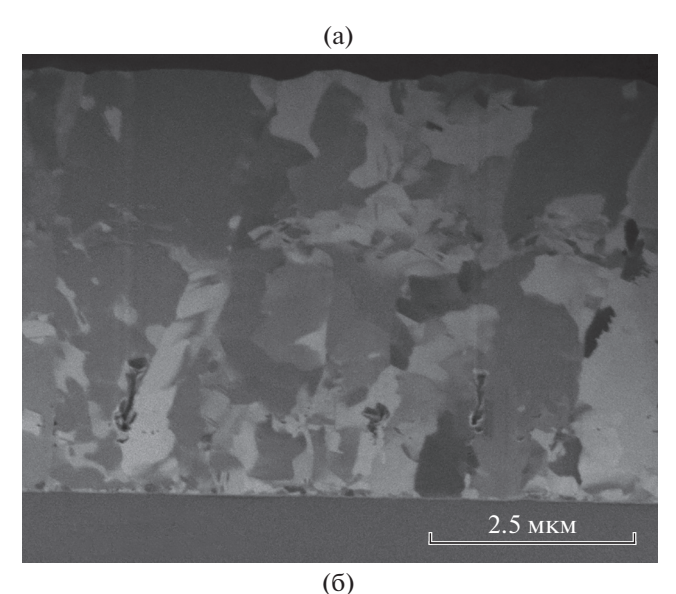


Рис. 2. Рентгеновские дифрактограммы фольги толщиной 7 мкм, полученной методом магнетронного распыления: исходная фольга (I), после нагревания до 600° С (2), после цикла нагревания до 600° С—охлаждения (3).



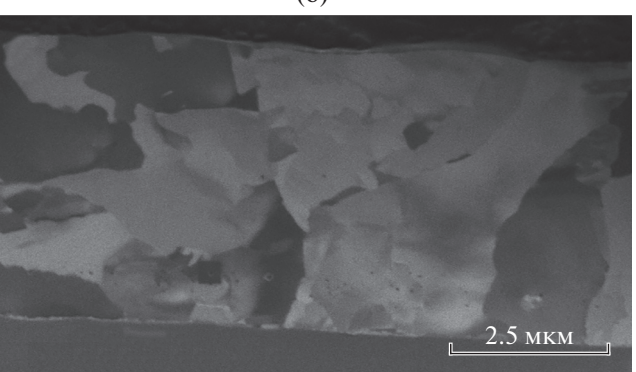


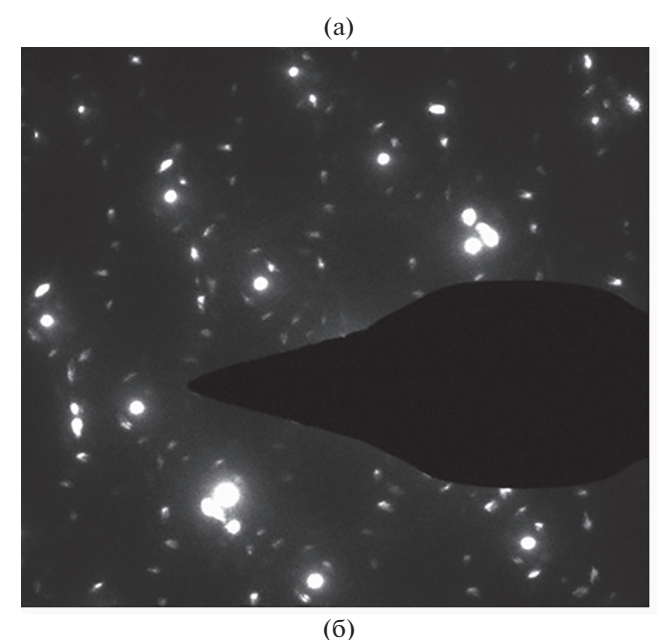
Рис. 3. РЭМ-изображения поперечных сечений образцов фольги, полученной методом магнетронного распыления: а — исходная, б — после цикла нагревания до 600° С—охлаждения.

Картина дифракции в быстрых электронах на рис. 4 иллюстрирует набор ориентаций зерен α - и β -фаз и возможных ориентационных соотношений между ними в тонком *cross section*-образце исходной фольги толщиной 300 мкм. В анализируемой области образца основные отражения соответствуют зоне $\langle 110 \rangle \beta$ -фазы и зоне $\langle 111 \rangle \alpha$ -фазы, слабые — зоне $\langle 001 \rangle$ двух зерен α -фазы, разориентированных на угол, близкий 0.15 рад. Характерные ориентационные соотношения для зерен α - и β -фаз следующие: (110), $[1\overline{1}\ 1]\beta\|(1\overline{1}\ 1)$, $[1\overline{1}\ 0]\alpha_1$; (011), $[01\overline{1}\]\beta\|(001)$, $[010]\alpha_2$; (011), $[11\overline{1}\]\beta\|(001)$, $[110]\alpha_3$.

Текстура β-фазы при зарождении в первом процессе создания фольги может быть обусловлена, в частности, текстурой прокатки: твердым растворам на основе Pd с ГЦК-структурой свойственна текстура (110). Во втором процессе наблюдается текстура (111), здесь образование текстуры и упорядочения могут активироваться высокой энергией, характерной для атомов из потоков, формируемых ионным распылением. Исследование методами ПЭМ и дифракции быстрых электронов на начальной стадии роста показало, что текстура (110) β-фазы основная в двухфазном слое толщиной 80 мкм [8].

ЗАКЛЮЧЕНИЕ

Текстуры фольги твердого раствора системы Pd—Cu состава, обеспечивающего обратимость $\alpha \leftrightarrow \beta$ -превращения в циклах нагревания до $600^{\circ}C$ —охлаждения, полученной в процессе про-



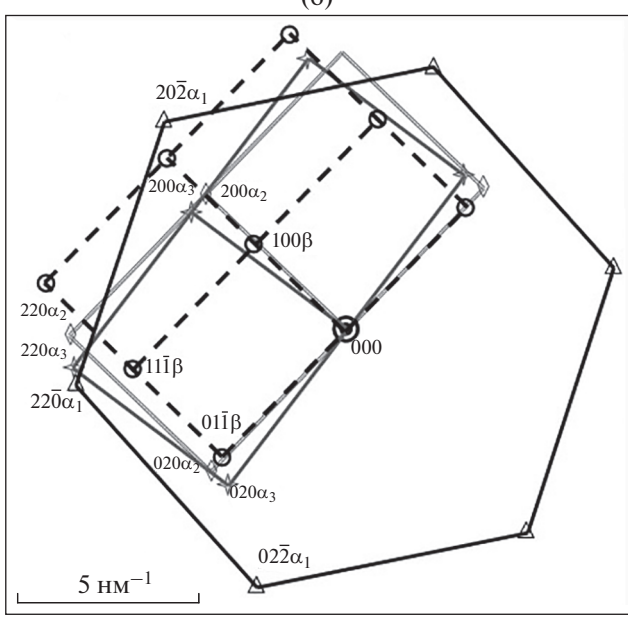


Рис. 4. Электронограмма (а) и ее индицирование (б) утоненного образца фольги на стадии прокатки до 300 мкм.

катки или магнетронного распыления, становятся одинаковыми после первого цикла.

Природа возможных и наблюдаемых текстур заключается в механизме $\alpha \leftrightarrow \beta$ -превращения по модели Бейна.

БЛАГОДАРНОСТЬ

Исследование выполнено за счет гранта Российского научного фонда (проект № 19-19-00232).

СПИСОК ЛИТЕРАТУРЫ

- 1. *Huang P., Menon S., de Fontaine D.* On the Cu−Pd Phase Diagram // J. Phase Equilib. 1991. V. 12. № 1. P. 3–5.
- Иевлев В.М., Донцов А.И., Белоногов Е.К., Солнцев К.А. Превращения β ↔ α в фольге твердого раствора Pd-57Cu (ат. %), полученной способом прокатки // Неорган. материалы. 2017. Т. 53. № 11. С. 1181–1188
- 3. *Алефельд Г., Фелькль М.* Водород в металлах: пер. с англ.; под ред. Когана Ю.М. М.: Мир, 1991. Т. 1. 475 с
- 4. Лякишев Н.П. Диаграммы состояния двойных металлических систем. М.: Машиностроение, 1997. Т. 2. 1024 с.
- Бурханов Г.С., Горина Н.Б., Кольчугина Н.Б., Кореновский Н.Л., Рошан Н.Р., Словецкий Д.И., Чистов Е.М. Сплавы палладия с редкоземельными металлами перспективные материалы для водородной энергетики // Тяжелое машиностроение. 2007. № 11. С. 17–20.
- 6. Burkhanov G.S., Gorina N.B., Kolchugina N.B., Roshan N.R., Slovetskii D.I., Chistov E.M. Palladium-Based Alloy Membranes for Separation of High Purity Hydrogen from Hydrogen-Containing Gas Mixtures // Platinum Met. Rev. 2011. P. 55. № 1. C. 3–12.
- 7. Горбунов С.В., Канныкин С.В., Пенкина Т.Н., Рошан Н.Р., Чистов Е.М., Бурханов Г.С. Сплавы палладия со свинцом для очистки и выделения водорода из водородсодержащих газовых смесей // Металлы. 2017. № 1. С. 63—69.
- Иевлев В.М., Солнцев К.А., Максименко А.А., Канныкин С.В., Белоногов Е.К., Донцов А.И., Рошан Н.Р. Образование тонкой фольги упорядоченного твердого раствора Pd—Си с кристаллической решеткой типа CsCl в процессе магнетронного распыления // ДАН. 2014. Т. 457. № 6. С. 676—679.
- 9. *Иевлев В.М., Максименко А.А., Ситников А.И., Солнцев К.А., Чернявский А.С., Донцов А.И.* Композитная металлокерамическая гетероструктура для мембран глубокой очистки водорода // Материаловедение. 2016. № 2, С. 37—40.
- 10. Иевлев В.М., Донцов А.И., Новиков В.И., Синецкая Д.А., Горбунов С.В., Рошан Н.Р., Бурханов Г.С. Композитные мембраны на основе твердых растворов Pd—Cu и Pd—Pb // Металлы. 2018. № 5. С. 70—74.
- Иевлев В.М., Донцов А.И., Максименко А.А., Рошан Н.Р. Обратимость β ↔ α-превращений в твердом растворе системы Pd—Cu // Неорган. материалы. 2017. Т. 35. №5. С. 486—490.
- 12. Волков А.Ю., Кругликов Н.А. Влияние пластической деформации на кинетику фазовых превращений в сплаве Cu−47Pd // Физика металлов и металловедение. 2008. Т. 105. № 2. С. 215—224.
- 13. *van der Drift A*. Evolutionary Selection, A. Principle Governing Growth Orientation in Vapour-Deposited Layers // Philips Res. Rep. 1967. V. 22. P. 267–276.
- 14. *Уманский Я.С., Скаков Ю.А.* Физика металлов. Атомное строение металлов и сплавов. М.: Атомиздат, 1978. 352 с.
- 15. *Григорович В.К.* Металлическая связь и структура металлов. М.: Наука, 1988. 296 с.